

京都大学・防災研究正員・道上正規  
京都大学・防災研究正員・村本嘉雄

### 1. まえがき

京阪神の“水がめ”琵琶湖は、図-1に示すように、貯水容量2.9億m<sup>3</sup>の南湖と273億m<sup>3</sup>の北湖から成る。南湖沿岸には多くの人口を有し、北湖に比べてその貯水容量が少ないので、一般に水質は南湖の方が悪化している。こうした南湖の汚水が北湖に流入する事と、琵琶湖全域の水質の悪化をもたらすため、南湖水がどの程度北湖に流入するかを知ることは非常に重要な課題である。琵琶湖の潮流には種々のパターンが見られるが、ここでは従来から観測されてきた表面静振による南北湖の湖水の混合を検討することにしよう。

### 2. 観測結果の概要

図-1に示す琵琶湖大橋中央部の橋脚を利用して、サーミスター水温計およびアロペラ式電気流速計が鉛直方向にそれぞれ3台づつ設置され、水温および流速の自記記録がとらわれている（建設省琵琶湖工事事務所）。その設置点の横断図が図-2に示されている。

昭和50年8月23日に近畿を走る台風6号は、琵琶湖に風雨をもたらしたが、その時、琵琶湖各地点の水位、風向・風速と琵琶湖大橋の流速および水温の時間的変化が図-3に示されている。各地点の水位および流速変化より、周期約4時間の静振が発生していることに気が付くであろう。このような静振は琵琶湖大橋付近を節とし、琵琶湖の南北端を腹とするUninodal静振で、南湖で最もよく観測されるモードである。静振の発生原因としては、気圧の変化、風の変化や河川流入量の変化が種々の原因と考えられるが、ここでは風の変化からの発生原因に着目してみよう。しかし、発生原因に因るのは別、機会で発表する予定である。

23日の7時から24日の5時までの一連の南流および北流による交流量は、北湖から南湖への流入量が $45 \times 10^6 m^3$ 、南湖から北湖への流出量が $30 \times 10^6 m^3$ である。その差、 $15 \times 10^6 m^3$ が北湖から南湖へ流入したもとの考え方によれば、この差はその期間の琵琶湖放流量 $14 \times 10^6 m^3$ とほぼ等しくなる。静振の流速は交互に振動しており、南流によって静振発生前の北湖水が $45 \times 10^6 m^3$ 南湖に流入し、逆に北流によって南湖水が $30 \times 10^6 m^3$ 北湖へ逆流したと考えることはできる。それではどの程度の混合が起つるかであろうか。幸いにも、図-3の水温変化図に見られるように、表面静振が発生したとき、北湖の内部静振によって、両湖の間に顕著な水温差が生じたので、この水温差を指標として水塊の混合程度を検討する。

### 3. 分散係数の推算

断面平均濃度を $\bar{S}$ として、恒流と静振による流速が共存する場合の1次のFickの式は次式で表される。

$$\frac{\partial \bar{S}}{\partial t} + (\bar{U}_s + \bar{U}_r \sin \omega t) \frac{\partial \bar{S}}{\partial x} = D_x \frac{\partial^2 \bar{S}}{\partial x^2} \quad \dots \dots \dots \quad (1)$$

ここで、 $\omega = 2\pi/T$ で $T$ は静振の周期、 $\bar{U}_s = (1/A) \int_A U_s dA$ 、 $\bar{U}_r = (1/A) \int_A U_r dA$ 、 $U_s$ 、 $U_r$ ：それぞれ恒流および静振による流速の振幅、 $D_x$ ：分散係数である。いま、流速を $U = U_s + U_r \sin \omega t$ で表し、断面平均値から偏差を $U'$ で表すと、準定常状態では分散係数は次式のように表される。



図-1 位置図

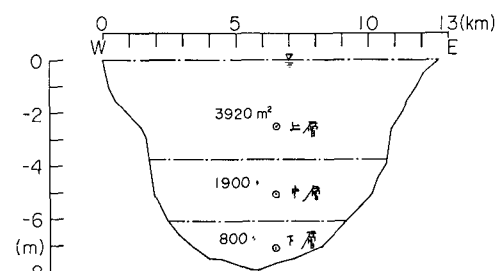


図-2 水温計・流速計の設置位置図

$$(1/AT) \int_0^T \int_A U' S' dA dt = -D_x d\bar{S}/dx \quad (2)$$

$\bar{S}$  : 断面平均濃度からの偏差である。

(2)式より 23日9:45~13:15の1周期の $D_x$ を

求めると、 $D_x = 8.6 \times 10^4 \text{ cm}^2/\text{sec}$  となる。

計算時の諸量は、 $\bar{U}_s = 15.7 \text{ cm/s}$ ,  $\bar{U}_T = 45 \text{ cm/s}$

$$d\bar{S} = 21.9 - 26.9 = -5^\circ \text{C}$$

$$dx = \bar{U}_s T + \int_0^T \bar{U}_T \sin \theta dt dt = 2.88 \times 10^5 \text{ cm}$$

$$(1/AT) \int_0^T \int_A U' S' dA dt = 1.53 \text{ cm/s}$$

が用いられる。したがって、 $U'_T > \bar{U}'_s$  を仮定し

て、恒流成分による分散効果を無視すると、

$D_x$  は次のよう表される。

$$D_x = D_{Tu} + D_{Tt} \quad (3)$$

ここで、 $D_{Tu}$ ,  $D_{Tt}$ : それぞれ、静振による鉛直および横断方向の分散係数である。

1) 鉛直シーアー効果 分散効果を検討するにあたって、Tと鉛直方向の乱流拡散による混合時間の比を知る必要がある。

$$T'_w = T / (h^2 / 0.053 h \bar{U}_s) = 2.83$$

ただし、 $h = 5.3 \text{ m}$ ,  $T = 3.5 \text{ hr}$ ,  $\bar{U}_s / \bar{U}_T = 20$

とする。 $T'_w \rightarrow \infty$  の中立状態の分散係数を  $D'_{Tu}$

とすれば、Bowden<sup>2)</sup>によつて求められると  $D'_{Tu}$  は次のように表される。

$$D'_{Tu} = (1/2) 14 \bar{U}_s h = 0.35 \bar{U}_s h = 8.3 \times 10^3 \text{ cm}^2/\text{s} \quad (4)$$

$T'_t > 1$  では、福岡<sup>3)</sup>や Holley<sup>4)</sup>によつて指摘されたように、 $D_{Tu} \approx D'_{Tu}$  で  $D_{Tu} = 8.3 \times 10^3 \text{ cm}^2/\text{s}$  となる。安定度が増すと、鉛直乱流分散係数が減少し、分散係数が増大するこれが知られており<sup>3), 4)</sup>, Fisher<sup>5)</sup>の定義による  $R_{IE} = \frac{\bar{U}_s}{\bar{U}_T} \times (\bar{U}_s / \bar{U}_T)^3$  を求め、 $D_{Tu} / D_{Tu} = f(R_{IE})$  を求めると、 $f(R_{IE}) \approx 8$  となる。これより、 $D_{Tu} = 6.6 \times 10^4 \text{ cm}^2/\text{s}$  となり、(2)式の空洞効果とはほぼ一致する。ここで、 $R_{IE}$ : estuarine Richardson No.,  $\bar{U}_s$ : 振動成分の r.m.s. を表す。

2) 横断シーアー効果  $T'_t = T / (b^* / 0.23 h \bar{U}_s) = 8.6 \times 10^4$  となり、横断方向の混合に要する時間が静振の周期よりもはるかに長いため、この効果は分散にはほとんど寄与しない、 $D_{Tt} \approx 0$  とみなせよう。

3) 混合モデル 福尾<sup>6)</sup>は潮汐混合をボックスモデルで考慮し、 $D_x$ として次式をえりこむ。

$D_x = (\beta/4) U^2 T \quad (5)$  ここで、 $U = (2/\pi) \bar{U}_T$ ,  $\beta$ : 支換率と呼ばれ、 $\beta \approx 0.1$  の観測値がえられており。これより  $D_x$ を計算すると、 $D_x = 2.6 \times 10^5 \text{ cm}^2/\text{s}$  となり、(2)式の空洞効果よりも大きくなる。

4. あとがき 振巾の大きい静振であったが、その分散係数は  $8.6 \times 10^4 \text{ cm}^2/\text{s}$  で、これは安定度を考慮した鉛直シーアー効果によってほぼ説明される。もし密度勾配が形成されなければ、静振による分散係数は  $10^3 \text{ cm}^2/\text{s}$  程度である。一方、支換率  $\beta$  は 0.1 以下になるようて、両湖水の混合は1割弱になるであろう。最後に、資料を提供して下さった建設省琵琶湖工事事務所の村田所長、竹本調査課長に謝意を表します。

#### 参考文献

1) Taylor, G.I.: Proc. Roy. Soc., A223, 1954.

3) 福岡: 第19回水理講演会論文集, 1975.

5) Fisher, H.B.: J. Fluid Mech., 53, 1972.

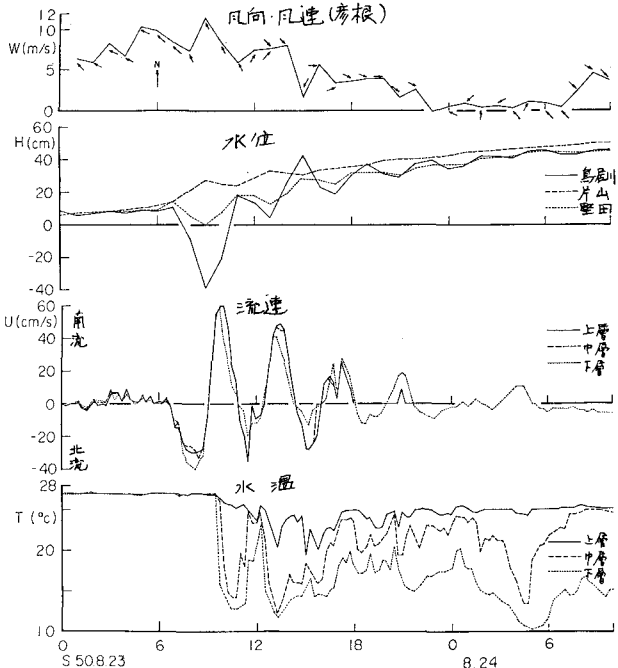


図-3 風向、風速、水位、流速および水温の変化

$$D'_{Tu} = (1/2) 14 \bar{U}_s h = 0.35 \bar{U}_s h = 8.3 \times 10^3 \text{ cm}^2/\text{s} \quad (4)$$

$T'_t > 1$  では、福岡<sup>3)</sup>や Holley<sup>4)</sup>によつて指摘されたように、 $D_{Tu} \approx D'_{Tu}$  で  $D_{Tu} = 8.3 \times 10^3 \text{ cm}^2/\text{s}$  となる。安定度が増すと、鉛直乱流分散係数が減少し、分散係数が増大するこれが知られており<sup>3), 4)</sup>, Fisher<sup>5)</sup>の定義による  $R_{IE} = \frac{\bar{U}_s}{\bar{U}_T} \times (\bar{U}_s / \bar{U}_T)^3$  を求め、 $D_{Tu} / D_{Tu} = f(R_{IE})$  を求めると、 $f(R_{IE}) \approx 8$  となる。これより、 $D_{Tu} = 6.6 \times 10^4 \text{ cm}^2/\text{s}$  となり、(2)式の空洞効果とはほぼ一致する。ここで、 $R_{IE}$ : estuarine Richardson No.,  $\bar{U}_s$ : 振動成分の r.m.s. を表す。

2) 横断シーアー効果  $T'_t = T / (b^* / 0.23 h \bar{U}_s) = 8.6 \times 10^4$  となり、横断方向の混合に要する時間が静振の周期よりもはるかに長いため、この効果は分散にはほとんど寄与しない、 $D_{Tt} \approx 0$  とみなせよう。

3) 混合モデル 福尾<sup>6)</sup>は潮汐混合をボックスモデルで考慮し、 $D_x$ として次式をえりこむ。

$$D_x = (\beta/4) U^2 T \quad (5)$$

ここで、 $U = (2/\pi) \bar{U}_T$ ,  $\beta$ : 支換率と呼ばれ、 $\beta \approx 0.1$  の観測値がえられており。これより  $D_x$ を計算すると、 $D_x = 2.6 \times 10^5 \text{ cm}^2/\text{s}$  となり、(2)式の空洞効果よりも大きくなる。

4. あとがき 振巾の大きい静振であったが、その分散係数は  $8.6 \times 10^4 \text{ cm}^2/\text{s}$  で、これは安定度を考慮した鉛直シーアー効果によってほぼ説明される。もし密度勾配が形成されなければ、静振による分散係数は  $10^3 \text{ cm}^2/\text{s}$  程度である。一方、支換率  $\beta$  は 0.1 以下になるようて、両湖水の混合は1割弱になるであろう。最後に、資料を提供して下さった建設省琵琶湖工事事務所の村田所長、竹本調査課長に謝意を表します。

2) Bowden, K.F.: J. Fluid Mech., 21, 1965.

4) Holley, E.R. et al.: Proc. ASCE, Hyg, 1970.

6) 速水: 海岸工学講演集, 1956.